

09/06/03 030

1/14

Thaddeus Schroeder et al.
DP-300793
1/14

19fig

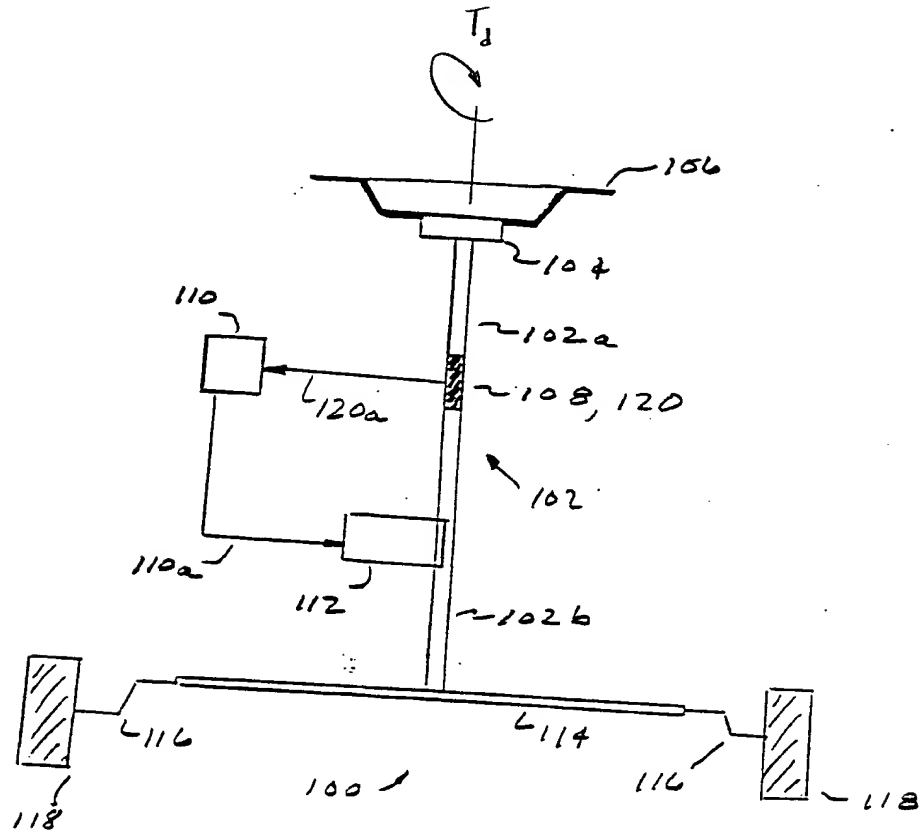
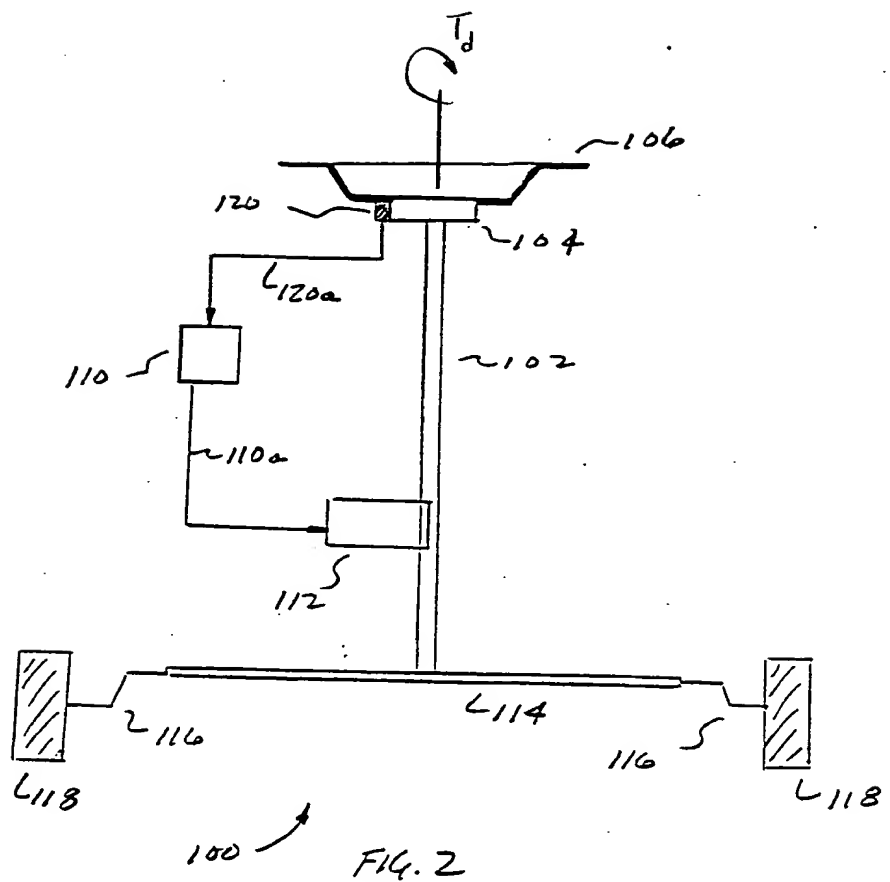


FIG. 1



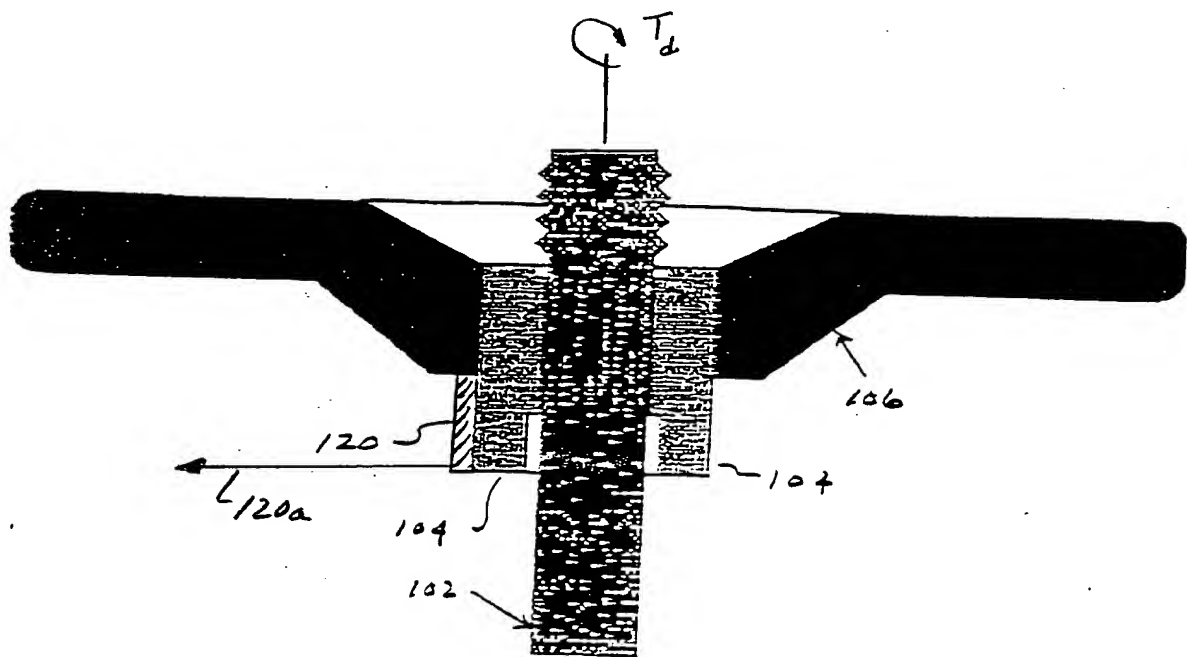


FIG. 3

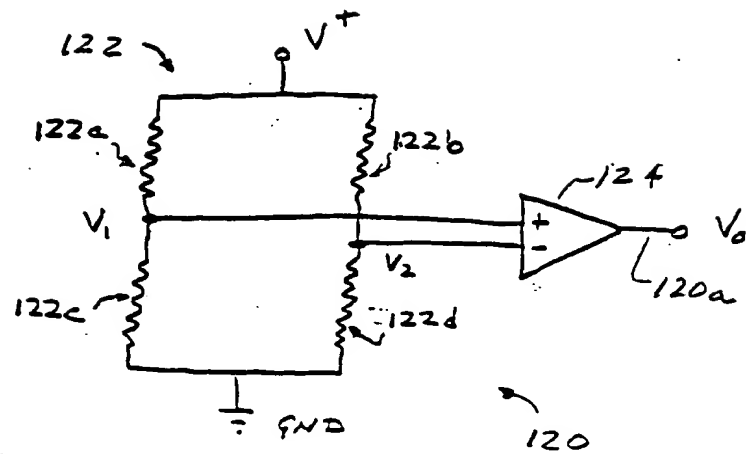


FIG. 5

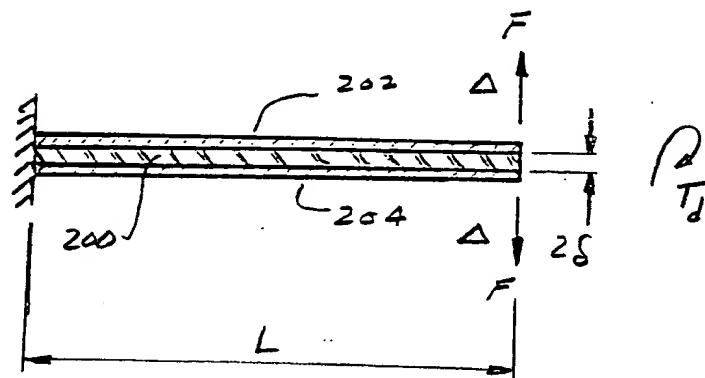


FIG. 4

DP-300793
5/14/

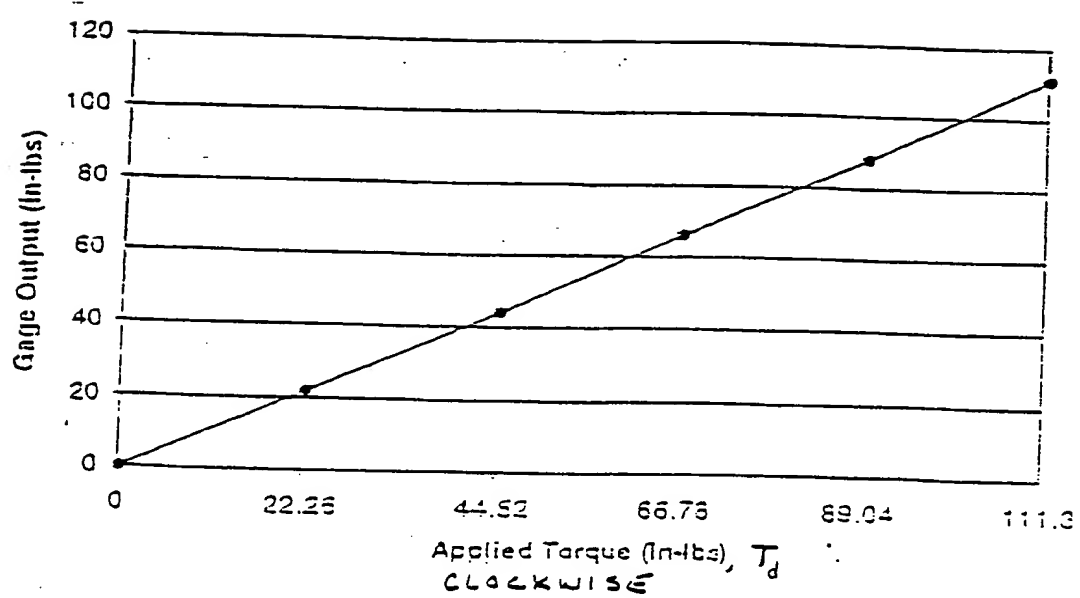


FIG. 6

DP-300793
6/14

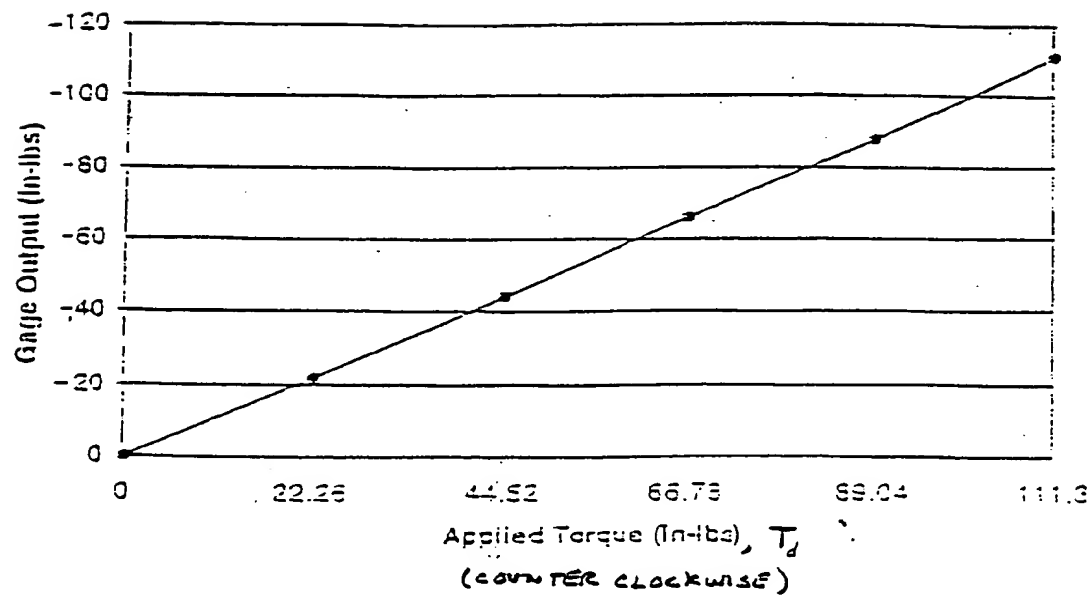


FIG. 7

DP-300793
7/14⁵

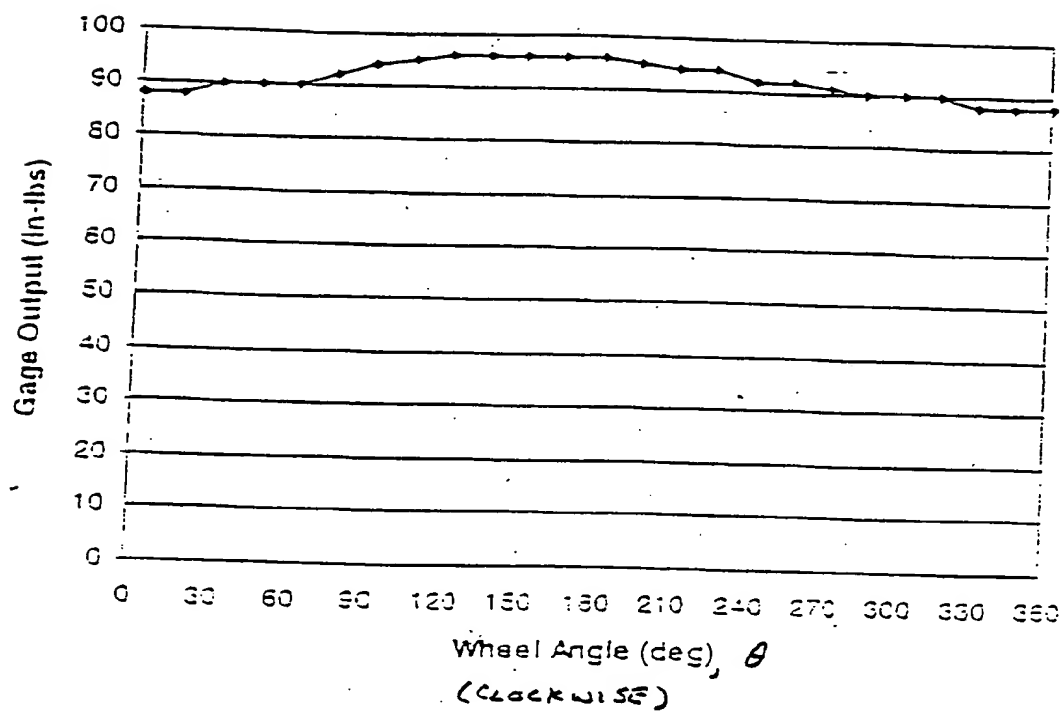


FIG. B

DP-300793
8/14

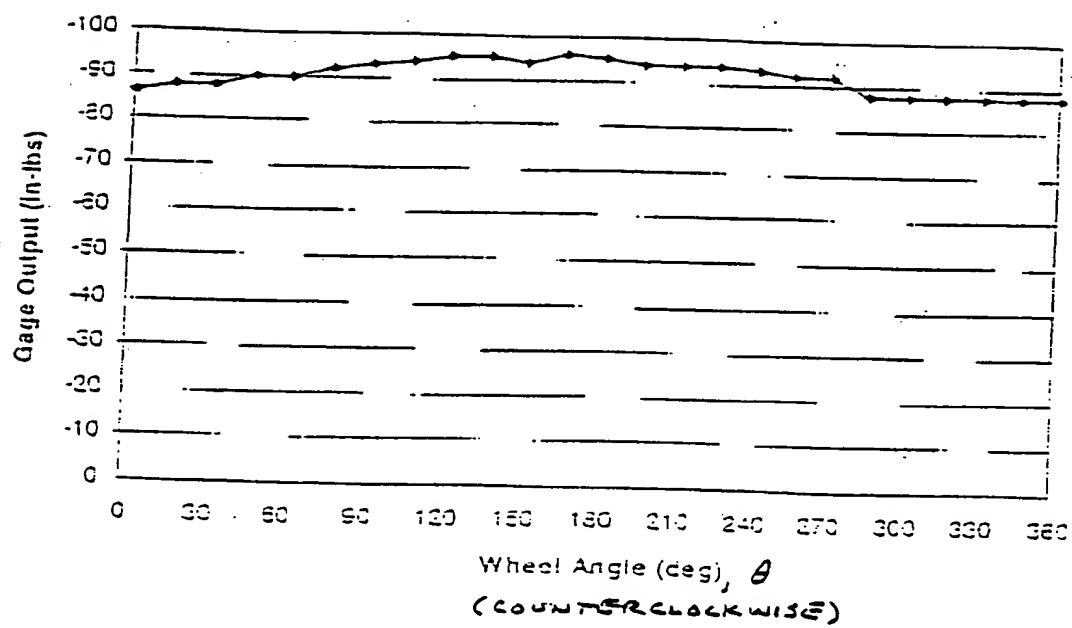


FIG. 9

DP-300793
9/14

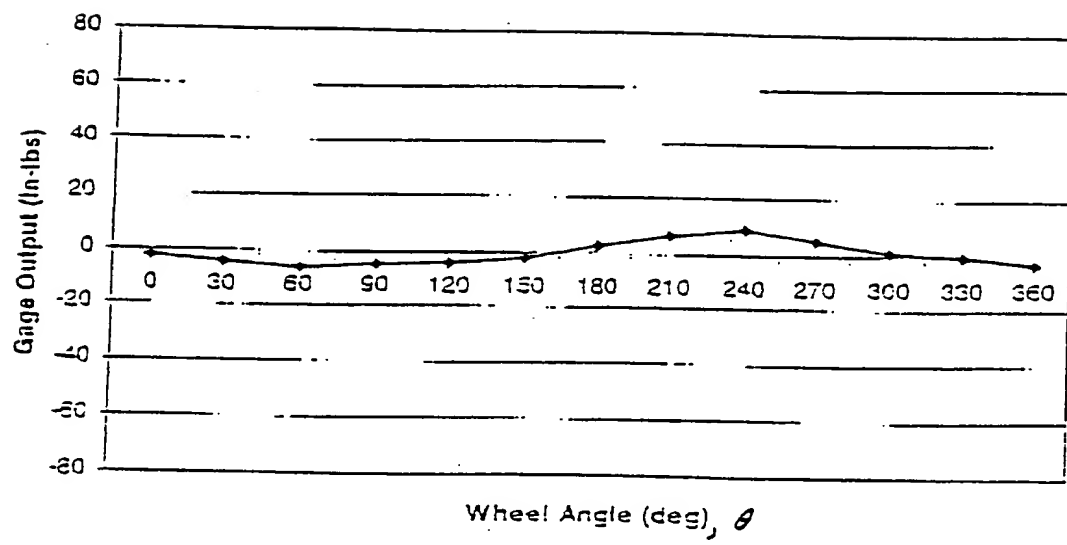


FIG. 10

DP-300793
10/14

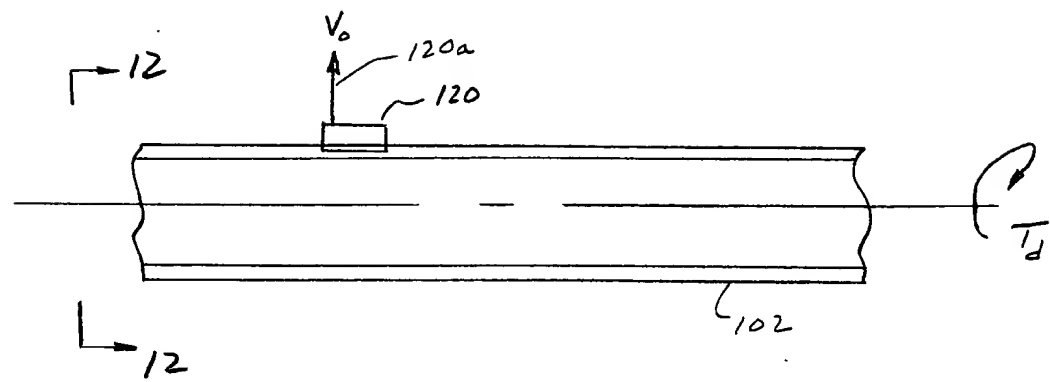


FIG. 11

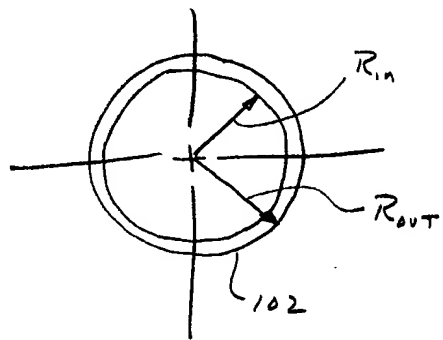


FIG. 12

DP-300793
11/14

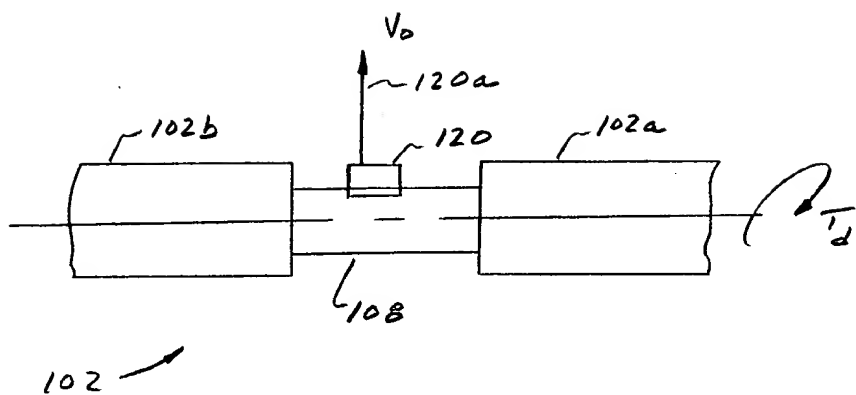


FIG. 13

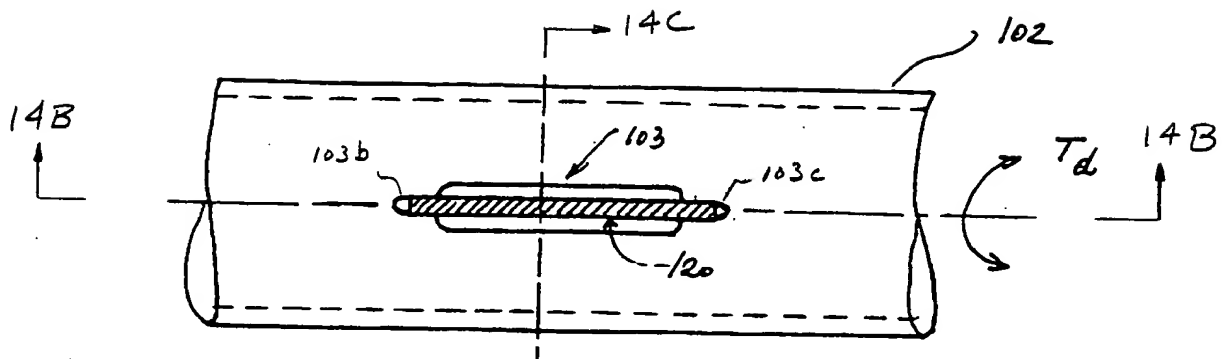


Fig. 14A

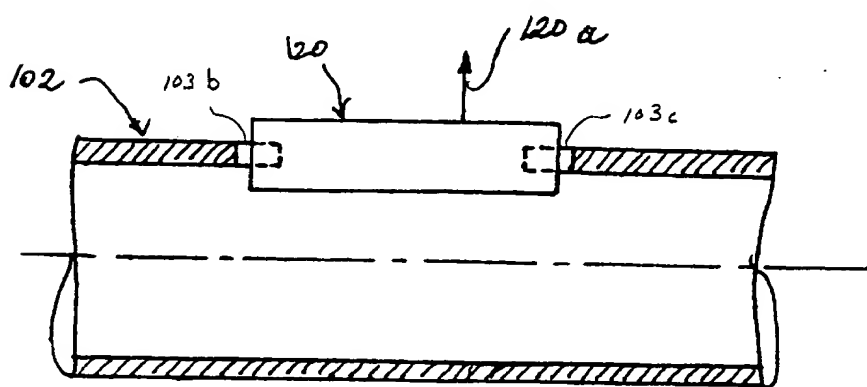


Fig. 14B

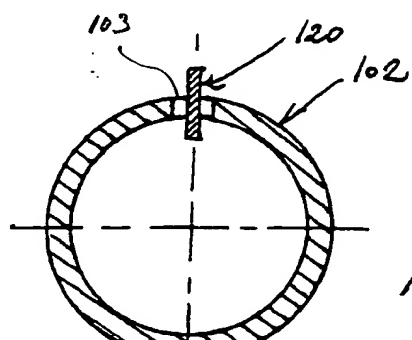


Fig. 14C

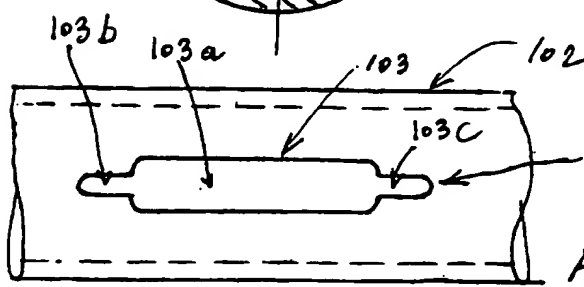


Fig. 14D

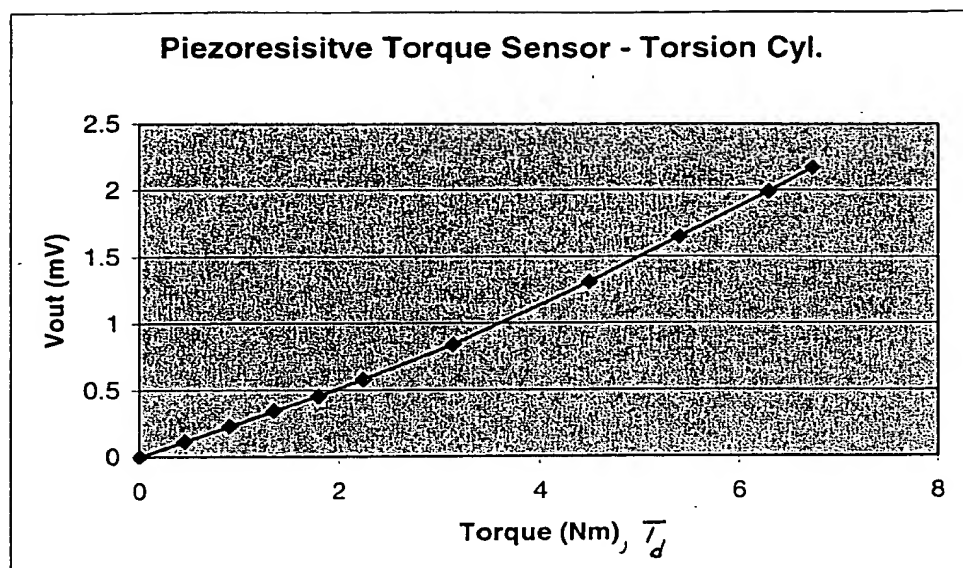


FIG. 15

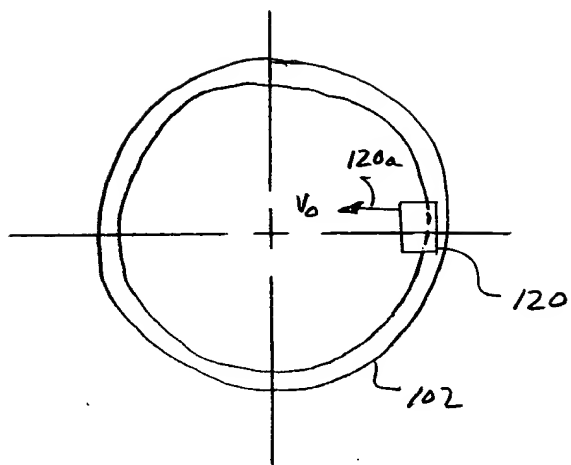


FIG. 16